

НАБЛЮДЕНИЕ СПИН-ВОЛНОВЫХ СОЛИТОНОВ В ФЕРРОМАГНИТНЫХ ПЛЕНКАХ

Б.А.Калиникос, Н.Г.Ковшиков, А.Н.Славин

При исследовании импульсного распространения сверхвысокочастотных (СВЧ) спиновых волн в ферромагнитных пленках (ФП) впервые обнаружено явление самоиндцированной прозрачности спин-системы. Экспериментально регистрируемые факты и приводимые теоретические представления свидетельствуют о солитонной природе наблюданного явления.

Исследования проводились при комнатной температуре на перпендикулярно намагниченных до насыщения тонких монокристаллических пленках железо-иттриевого граната (ЖИГ) с малыми магнитными потерями (параметр диссипации $\Delta H_k = 0,2 - 0,3 \text{ Э}$), выращенных на подложках из гадолиний-галлиевого граната ориентации [111]. Возбуждение и прием спиновых волн (СВ) осуществлялись с помощью обычной конструкции¹, включавшей короткозамкнутые возбуждающую и приемную микрополосковые антенны шириной по 30 мкм и длиной по 4 мм, фотолитографически сформированные на керамической подложке. Расстояние между антеннами составляло 4 мм.

Для выполнения опытов были выбраны образцы, экспериментально проявляющие себя как ФП с закрепленными поверхностными спинами. Закрепление поверхностных спинов приводит к диполь-дипольному "расталкиванию" дисперсионных ветвей, отвечающих волнам одинакового типа симметрии². Дипольное "расталкивание" совместно с обменным расщеплением (для тонких ФП) делают спектр СВ существенно дискретным¹⁾ (см. рис. 1, а). На частотах вблизи дипольных "щелей" имеет место сильная дисперсия групповой скорости СВ.

¹⁾ В случае свободных поверхностных спинов дипольные "щели" в спектре настолько малы, что они "замазываются" процессами релаксации.

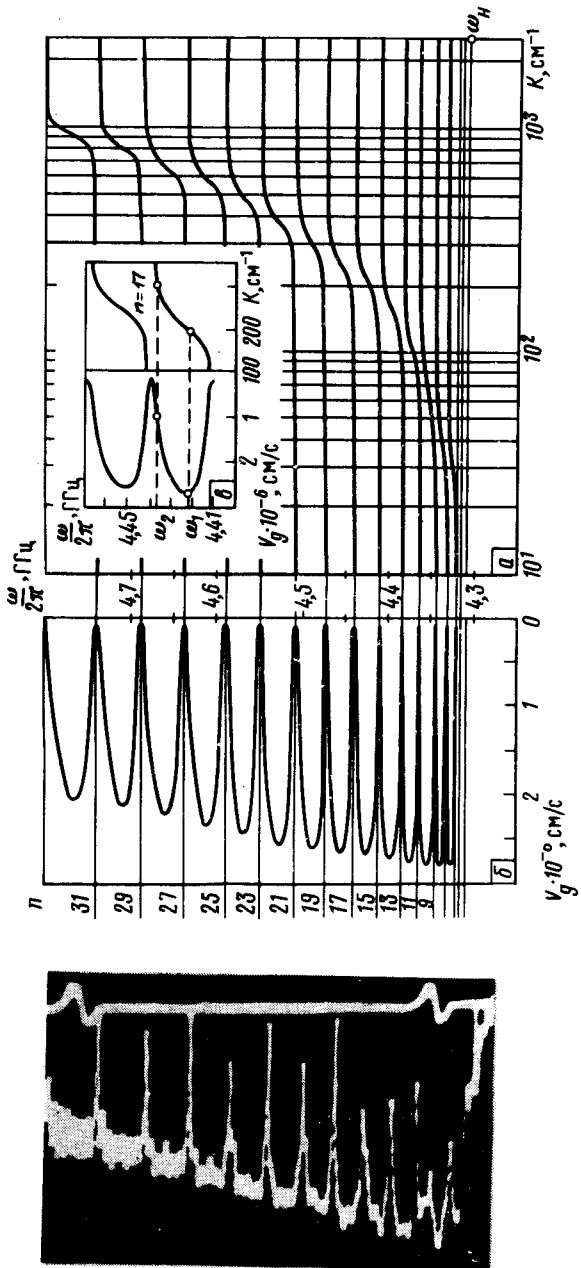


Рис. 1. Спектр (а, б) СВ, групповая скорость СВ (а, б) и амплитудно-частотная характеристика (б) исследуемой ФП, полученная в линейном режиме

На рис. 1, а приведен спектр СВ симметричных типов, рассчитанный для пленки ЖИГ толщиной $L = 5,8 \text{ мкм}$ (при $\alpha = 3,1 \cdot 10^{-12} \text{ см}^{-2}$, $\omega_M = 4,9 \text{ ГГц}$, $\omega_H = 4,312 \text{ ГГц}$) по дисперсионному уравнению²:

$$(\omega^2 - \omega_n^2)(\omega^2 - \omega_\beta^2) = (\omega_H + \omega_M \alpha k_n^2)(\omega_H + \omega_M \alpha k_\beta^2) P_{n\beta}^2. \quad (1)$$

Все обозначения приведены в². В длинноволновом $kL < 1$ приближении матричный элемент $P_{n\beta} = 2kL(2 - kL)/\pi^2 n^2 \beta^2$. На рис. 1, б построены частотные зависимости групповых скоростей $V_g = \partial\omega/\partial k$, рассчитанные по (1) для наиболее быстрых на заданных частотных интервалах спиновых волн. На вставке рис. 1, в в увеличенном масштабе показаны кривые $\omega(k)$ и $V_g(\omega)$ в окрестности "щели" $\beta = 1$, $n = 17$.

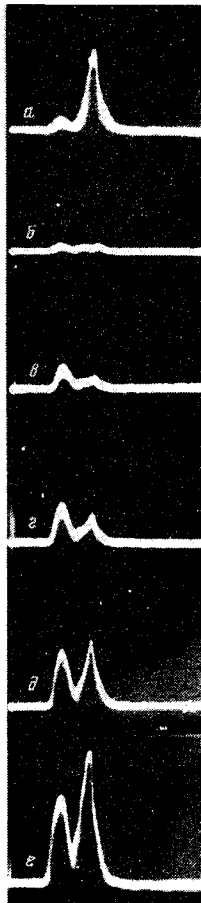


Рис. 2

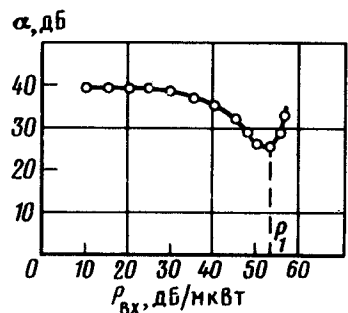


Рис. 3.

Рис. 2. Осциллограммы огибающих импульсного сигнала, прошедшего ФП при различных значениях несущей частоты (а, б) и входной мощности (в, г, д, е). (Осциллограммы получены на частотах, расположенных в окрестности "щели" $\beta = 1$, $n = 17$)

Рис. 3. Зависимость затухания импульсного сигнала при распространении в ФП от входной мощности

Эксперименты по импульльному линейному распространению СВ выполнялись следующим образом. На входную антенну подавались импульсы длительностью $\tau = 100 \text{ нс}$ с частотой повторения 10^4 Гц при мощности, заведомо обеспечивающей линейный режим распространения СВ. Несущая частота выбиралась в одном из интервалов между "щелями" (например, равной ω_1 рис. 1, в), т. е. в области сравнительно слабой дисперсии. Тогда на выходной антenne регистрировался задержанный импульс (рис. 2, а) (первый импульс на осциллограммах рис. 2 соответствует входному сигналу). Затем несущая частота постепенно повышалась при неизменном низком уровне мощности входного импульса $P_{\text{вх}}$. Это приводило к дисперсионному расплыванию задержанного импульса и к изменению его формы так, что на частоте ω_2 вблизи "щели" (рис. 1, в) этот импульс становился двугорбым с двумя максимумами, соответствующими большему и меньшему временам задержки, а амплитуда его уменьшалась

(рис. 2, б). Последующее увеличение $P_{\text{вх}}$ при неизменной несущей частоте ω_2 приводило к тому, что из второго максимума задержанного импульса (соответствующего большему времени задержки) образовывался солитон. Рис. 2, в, г, д, е иллюстрируют изменение формы солитона по мере увеличения входной мощности. На рис. 3 приведена зависимость затухания импульсного СВЧ сигнала прошедшего через ФП от его мощности. Видно, что начиная с некоторого значения $P_{\text{вх}}$ образуется солитон (см. рис. 2, в), т. е. возникает самоиндукционная прозрачность спин-системы, причем при $P_{\text{вх}} = P_1$ "просветление" становится максимальным (рис. 3), а амплитуда солитона наибольшей (рис. 2, е). При дальнейшем увеличении $P_{\text{вх}}$ солитон дробится и амплитуда его уменьшается.

Образование солитонов было зафиксировано на ФП толщиной от 4 до 7 мкм, причем, оно всегда имело место на частотах, лежащих в непосредственной близости, но на 1 – 3 МГц ниже одной из дипольных "щелей", там, где V_g убывает с ростом частоты. В частотных интервалах между "щелями" образование солитонов не наблюдалось вплоть до значений входной мощности в 1 Вт.

Качественное объяснение наблюдаемого эффекта может быть дано в рамках теории нелинейных волн³.

Для дипольно-обменных СВ, описываемых дисперсионным уравнением (1) известным методом³ получаем нелинейное параболическое уравнение, описывающее эволюциюгибающей комплексной амплитуды переменной намагниченности $\varphi(x, t)$ СВ:

$$i \left(\frac{\partial \varphi}{\partial t} + V_g \frac{\partial \varphi}{\partial x} \right) + \frac{1}{2} \frac{\partial^2 \omega}{\partial k^2} \frac{\partial^2 \varphi}{\partial x^2} - \frac{\partial \omega}{\partial |\varphi|^2} |\varphi|^2 \varphi = 0. \quad (2)$$

Уравнение (2) имеет солитонные решения, если $(\partial \omega / \partial |\varphi|^2) (\partial^2 \omega / \partial k^2) < 0$. Вводя в закон дисперсии (1) зависимость от $|\varphi|^2$ аналогично^{4, 5} и вычисляя производные, нетрудно убедиться, что приведенное выше неравенство выполняется в частотных областях ниже "щелей", где $\frac{\partial^2 \omega}{\partial k^2} = V_g \frac{\partial V_g}{\partial \omega} < 0$. Таким образом, предсказания теории совпадают с экспериментом в областях сильной дисперсии СВ ниже дипольных "щелей" в спектре.

Теория⁵, построенная в безобменном приближении, предсказывает образование солитонов слабодисперсионных СВ. В описываемых экспериментах такие солитоны могли бы наблюдаваться между "щелями", где дисперсия СВ сравнительно невелика. Однако на этих участках спектра зарегистрировать солитоны нам не удалось. По-видимому, это связано с существенным различием реального дипольно-обменного и безобменного законов дисперсии, которое имеет место на частотах, лежащих не только вблизи "щелей", но и между ними, если "щели" расположены достаточно близко друг к другу.

Описанное поведение солитонов имеет много общего с поведением магнитоакустических солитонов в KMnF₃⁶, которые также наблюдались в области сильной дисперсии там, где $\partial V_g / \partial \omega < 0$.

Явление образования солитонов наблюдалось нами и в касательно намагниченных пленках ЖИГ при возбуждении квазиверхностных СВ. Оно также имело место в частотных областях вблизи дипольных "щелей" в спектре, но выше "щелей", а солитон, в отличие от случая перпендикулярно намагниченной ФП, образовывался не из второго максимума задержанного импульса (см. рис. 2, б, в), а из первого, соответствующего меньшему времени задержки.

Литература

1. Ganguly A.K., Webb D.C. IEEE Trans. MTT, 1975, MTT-23, 998.
2. Калиникос Б.А. Известия высш. уч. зав., серия Физика, 1981, 24, 42.
3. Карпман В.И. Нелинейные волны в диспергирующих средах, 1973, М.: Наука.
4. Лукомский В.П. Украинский физический журнал, 1978, 23, 134.

5. Звездин А.К., Попков А.Ф. ЖЭТФ, 1983, 84, 606.

6. Богданова Х.Г., Голенищев-Кутузов В.А., Монахов А.А., Кузько А.В. Лукомский В.П., Човнюк Ю.В.
Письма в ЖЭТФ, 1980, 32, 476.

Электротехнический институт
им. В.И.Ульянова (Ленина)

Поступила в редакцию
7 августа 1983 г.